

7. Anexo

Gráfico 4.1: Gráfico de series temporales de MTSIBX

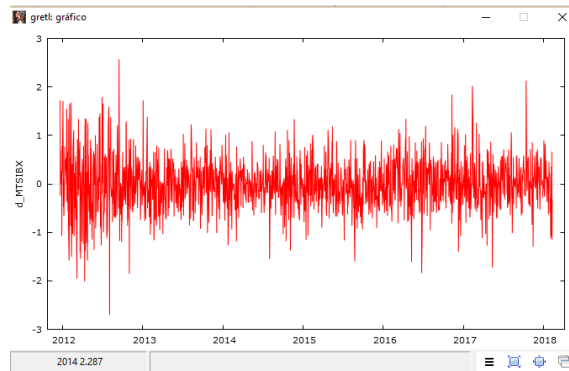


Gráfico 4.2: Gráfico de series temporales de las diferencias de MTSIBX

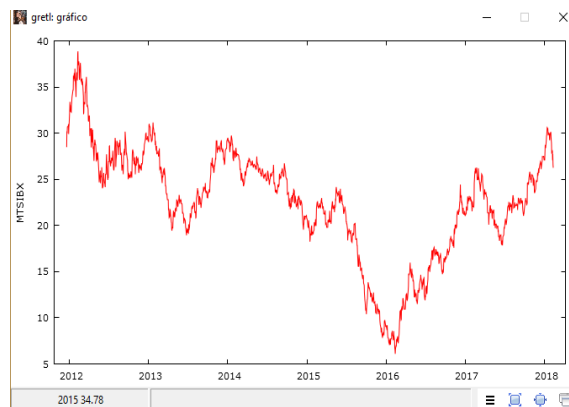


Gráfico 4.3: Correlograma de MTSIBX

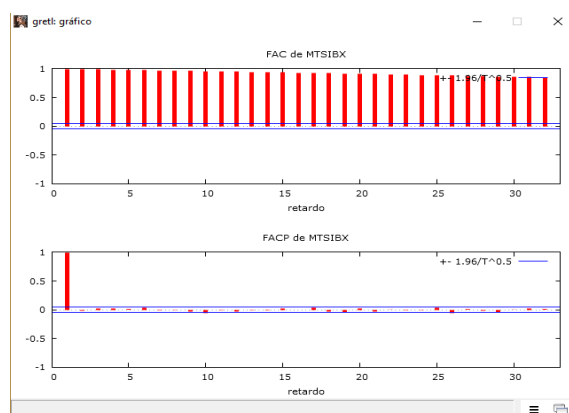


Gráfico 4.4: Correlograma de las primeras diferencias de MTSIBX

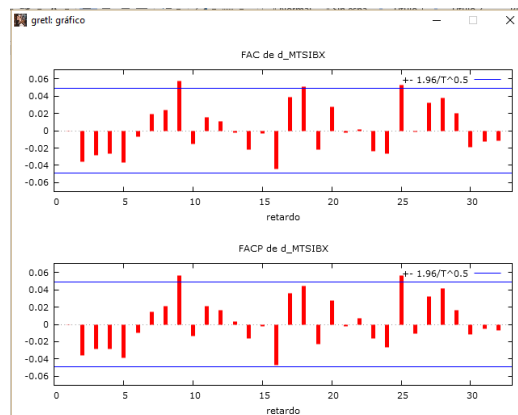


Gráfico 4.5: Gráfico de series temporales de MTSNDQ

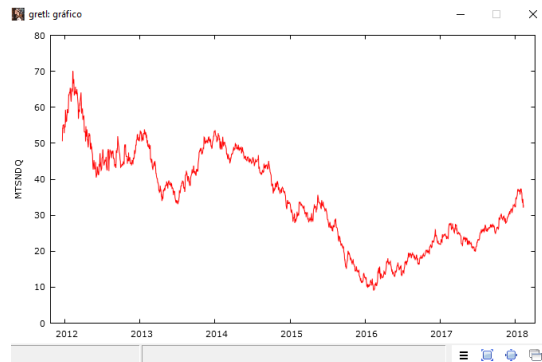


Gráfico 4.6: Gráfico de series temporales de las diferencias de MTSNDQ

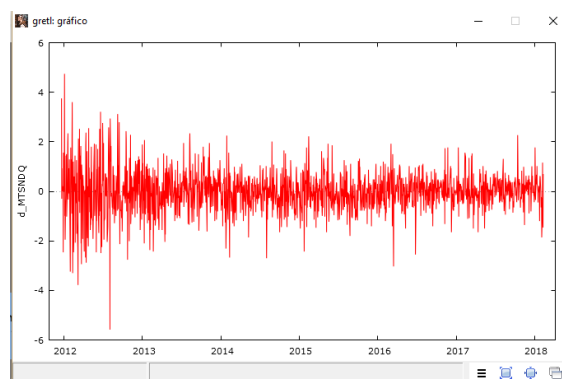


Gráfico 4.7: Correlograma de MTSNDQ

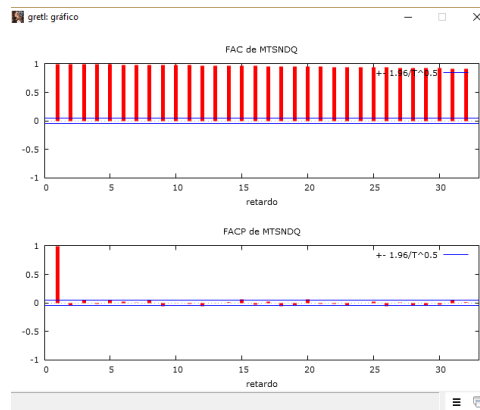


Gráfico 4.8: Correlograma de las primeras diferencias de MTSNDQ

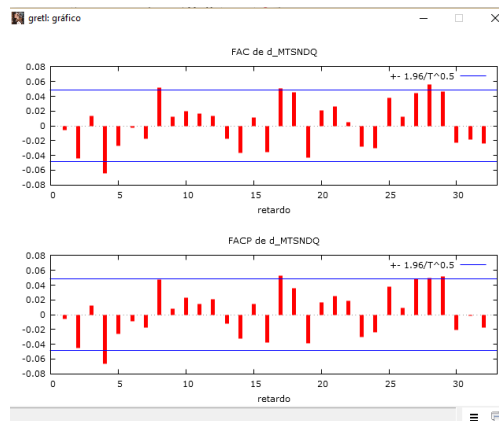


Gráfico 4.9: Gráfico de series temporales de EURDOL

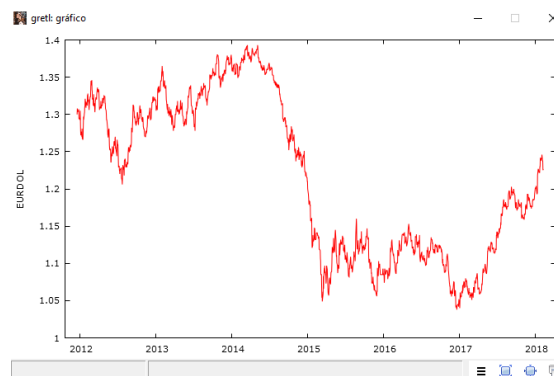


Gráfico 4.10: Gráfico de series temporales de las diferencias de EURDOL

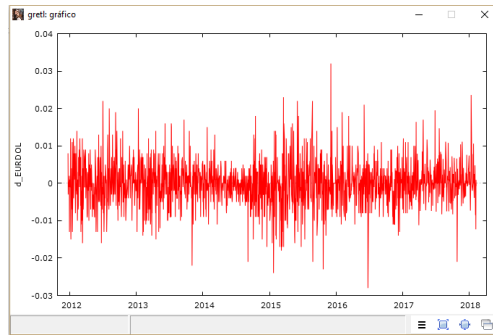


Gráfico 4.11: Correlograma de EURDOL

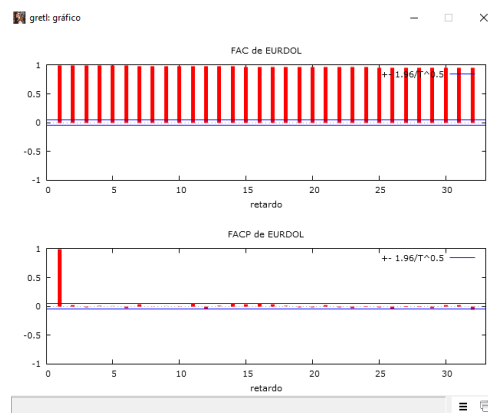


Gráfico 4.12: Correlograma de las primeras diferencias de EURDOL

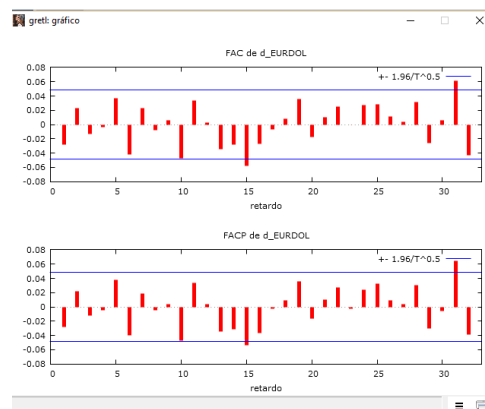


Gráfico 4.13: Gráfico de series temporales de HIERRO



Gráfico 4.14: Gráfico de series temporales de las diferencias de HIERRO

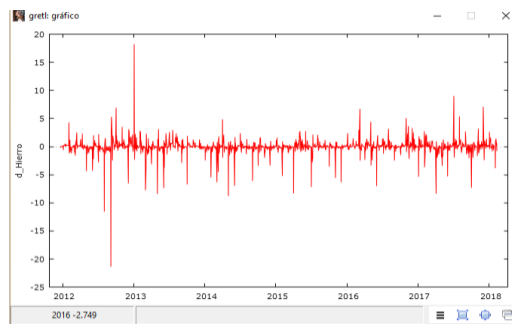


Gráfico 4.15: Correlograma de HIERRO

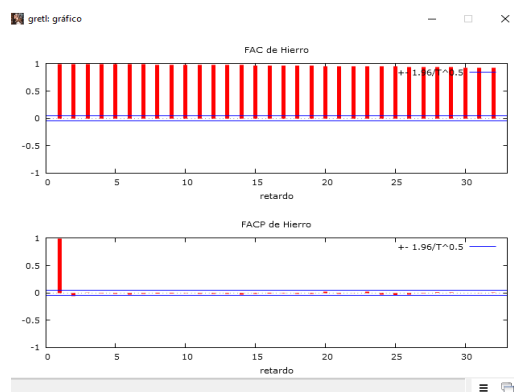


Gráfico 4.16: Correlograma de las primeras diferencias de HIERRO

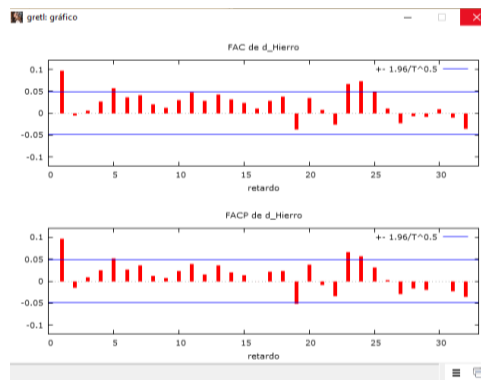


Gráfico 4.17: Gráfico de series temporales de IBEX35

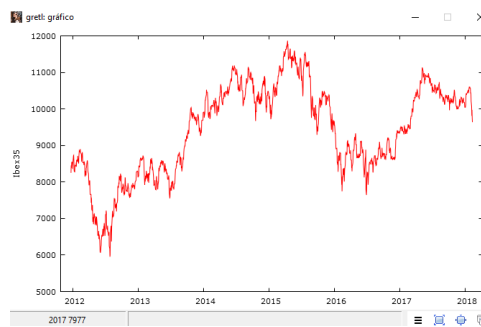


Gráfico 4.18: Gráfico de series temporales de las diferencias de IBEX35

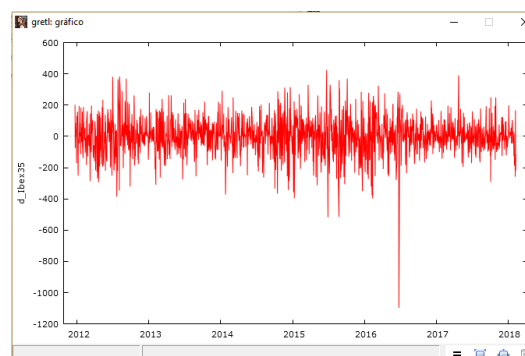


Gráfico 4.19: Correlograma de IBEX35

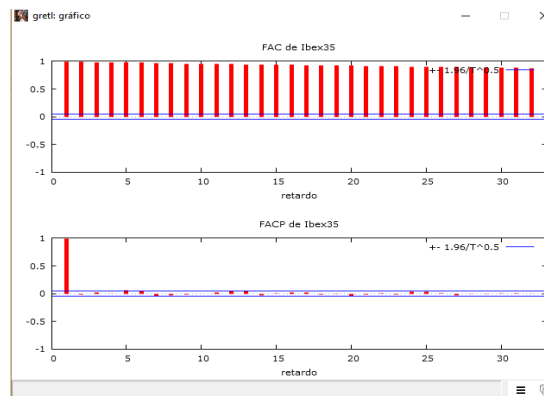


Gráfico 4.20: Correlograma de las primeras diferencias de IBEX35

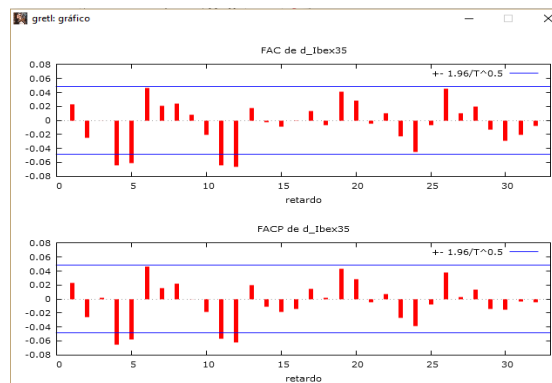


Gráfico 4.21: Gráfico de series temporales de Log MTSIBX

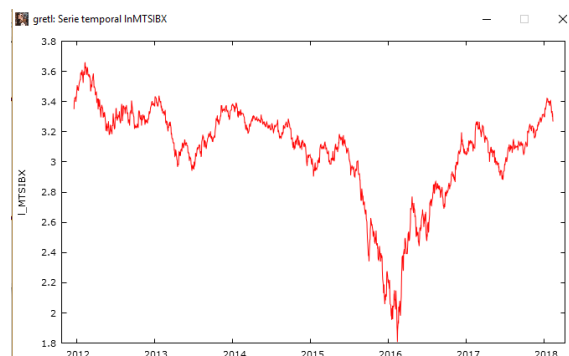


Gráfico 4.22: Gráfico de series temporales de primeras diferencias de Log MTSIBX

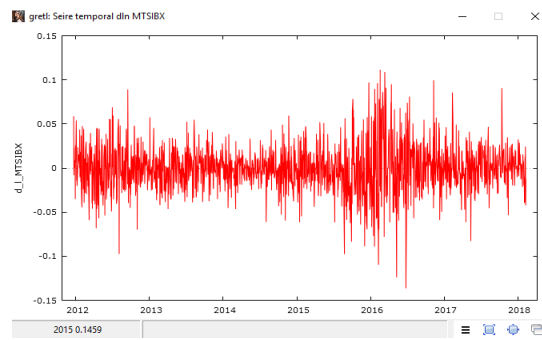


Gráfico 4.23: Correlograma de Log MTSIBX

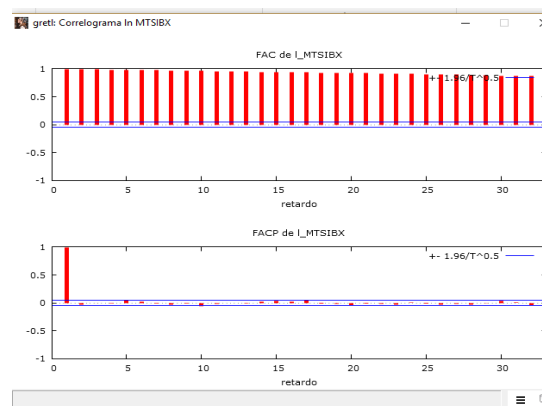


Gráfico 4.24: Correlograma de primeras diferencias de Log MTSIBX

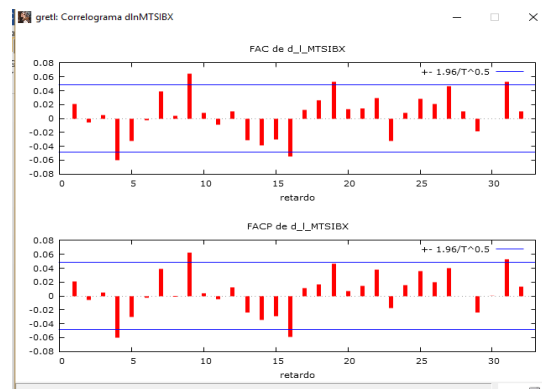


Gráfico 4.25: Gráfico de series temporales de Log MTSNDQ

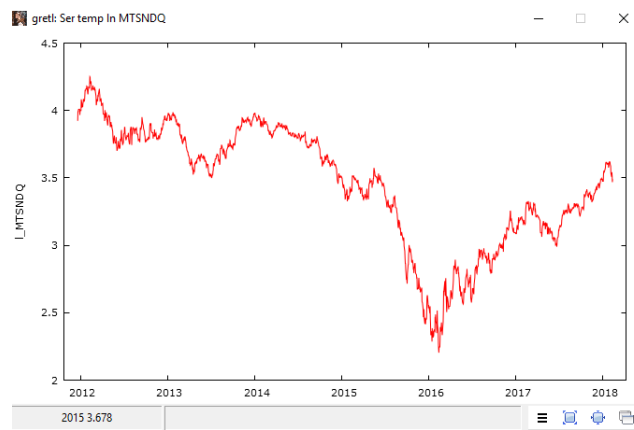


Gráfico 4.26: Gráfico de series temporales de primeras diferencias de Log MTSNDQ

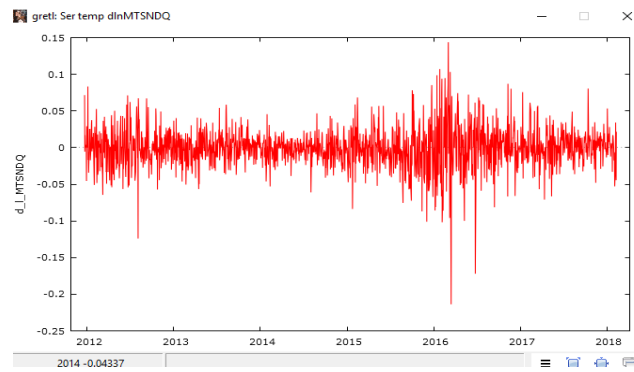


Gráfico 4.27: Correlograma de Log MTSNDQ

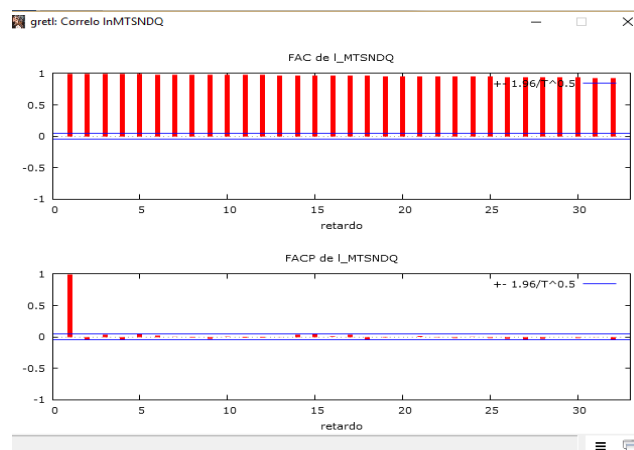


Gráfico 4.28: Correlograma de las primeras diferencias de Log MTSNDQ

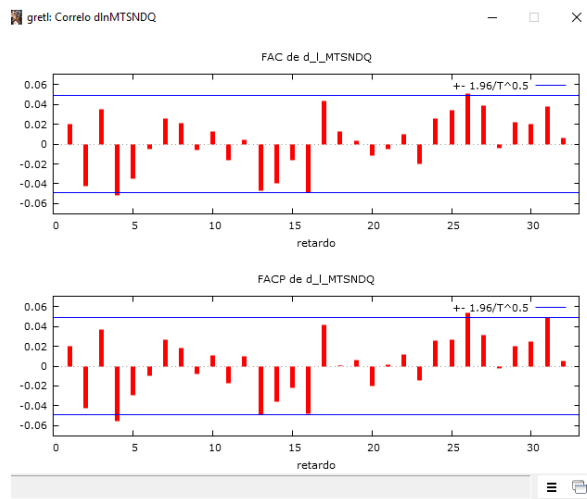


Gráfico 4.29: Gráfico de series temporales de Log EURDOL

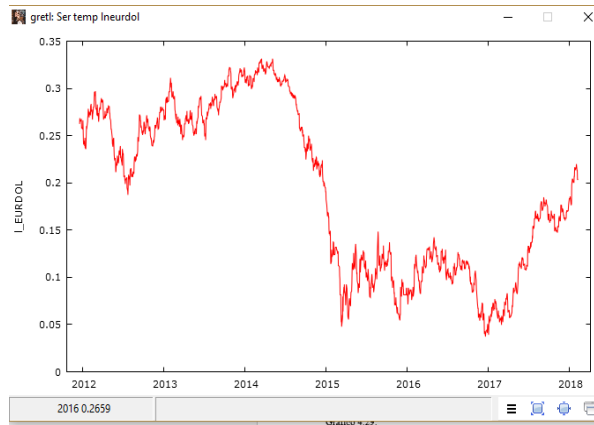


Gráfico 4.30: Gráfico de series temporales de primeras diferencias de Log EURDOL

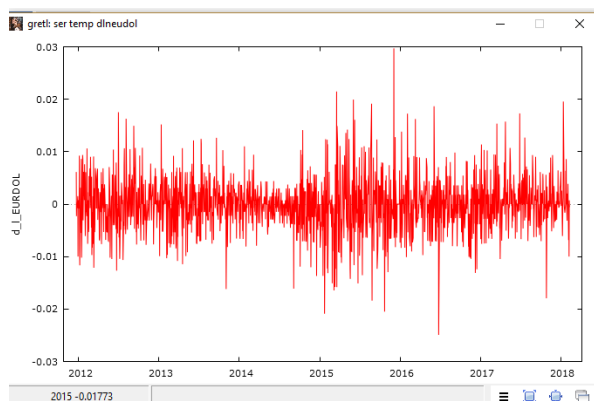


Gráfico 4.31: Correlograma de Log EURDOL

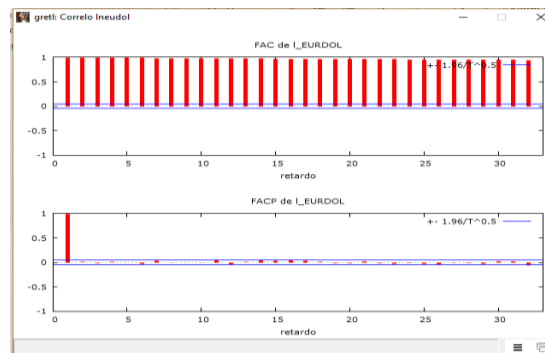


Gráfico 4.32: Correlograma de las primeras diferencias de Log EURDOL

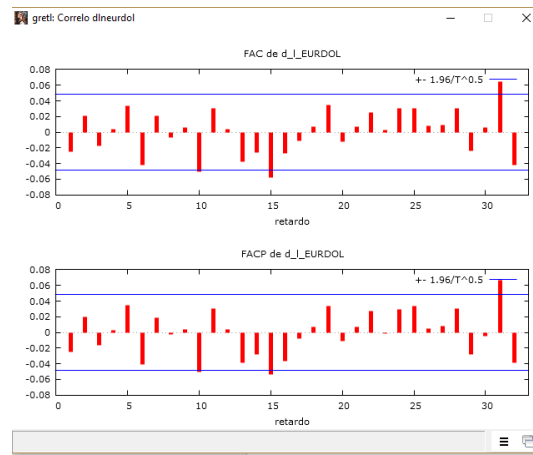


Gráfico 4.33: Gráfico de series temporales de Log IBEX35

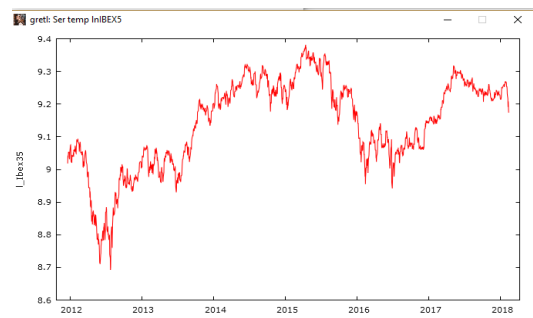


Gráfico 4.34: Gráfico de series temporales de primeras diferencias de Log IBEX35

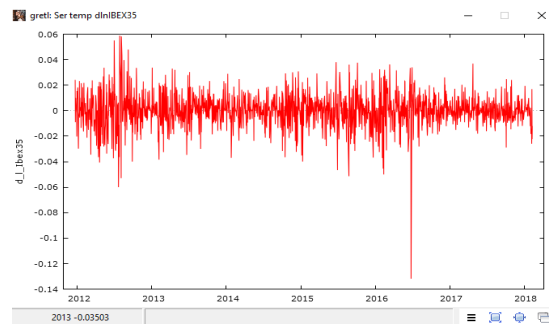


Gráfico 4.35: Correlograma de Log IBEX35

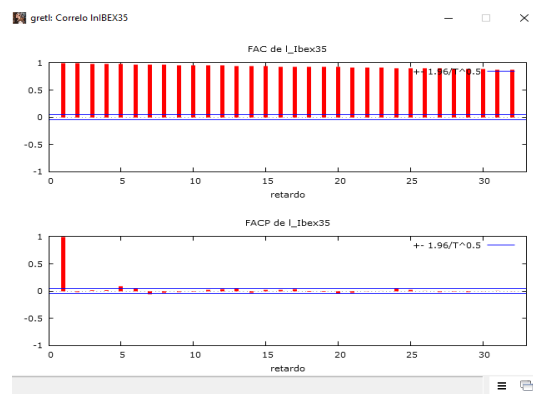


Gráfico 4.36: Correlograma de las primeras diferencias de LogIBEX35

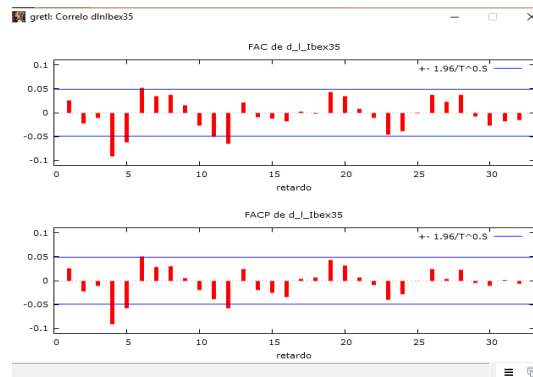


Gráfico 4.37: Gráfico de series temporales de Log HIERRO

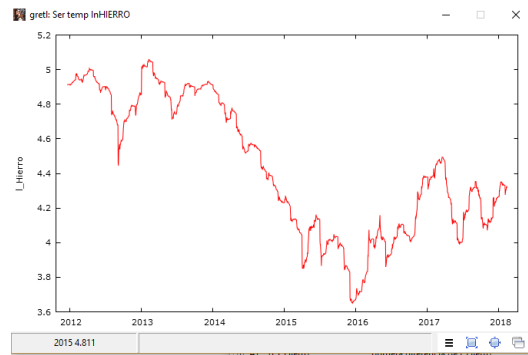


Gráfico 4.38: Gráfico de series temporales de primeras diferencias de Log HIERRO

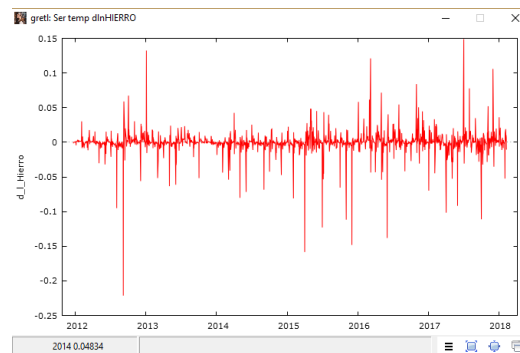


Gráfico 4.39: Correlograma de Log HIERRO

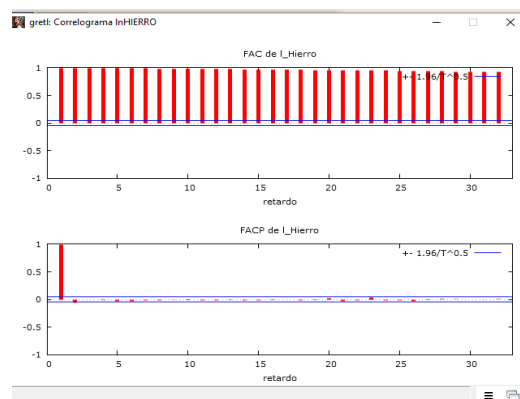


Gráfico 4.40: Correlograma de las primeras diferencias de Log HIERRO

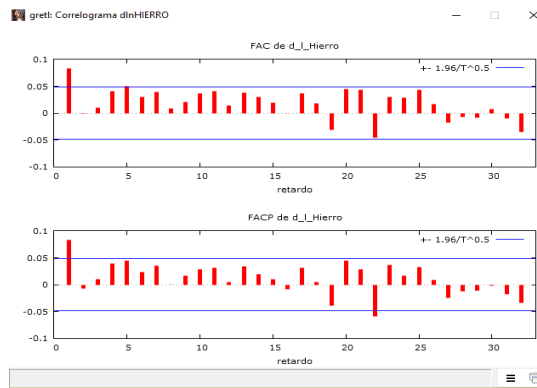


Figura 4.1: Contraste Dickey Fuller para MTSIBX

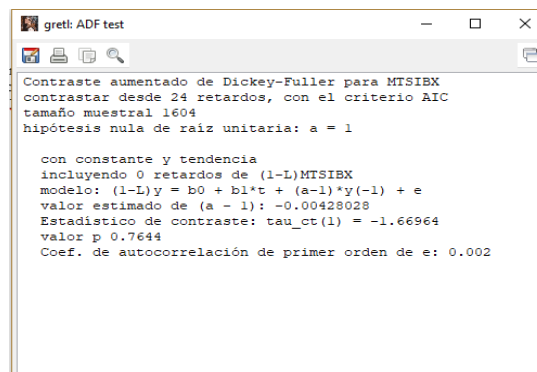


Figura 4.2: Contraste Dickey Fuller para diferencias de MTSIBX

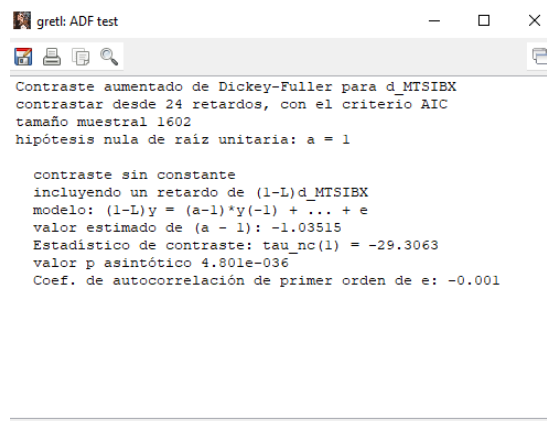


Figura 4.3: Contraste Dickey Fuller para MTSNDQ

```
gretl: ADF test
Contraste aumentado de Dickey-Fuller para MTSNDQ
contrastar desde 24 retardos, con el criterio AIC
tamaño muestral 1596
hipótesis nula de raíz unitaria: a = 1

con constante y tendencia
incluyendo 8 retardos de (1-L)MTSNDQ
modelo: (1-L)y = b0 + b1*t + (a-1)*y(-1) + ... + e
valor estimado de (a - 1): -0.00322692
Estadístico de contraste: tau_ct(1) = -1.25332
valor p asintótico 0.8985
Coef. de autocorrelación de primer orden de e: -0.000
diferencias retardadas: F(8, 1585) = 2.084 [0.0344]
```

Figura 4.4: Contraste Dickey Fuller para diferencias de MTSNDQ

```
gretl: ADF test
Contraste aumentado de Dickey-Fuller para d_MTSNDQ
contrastar desde 24 retardos, con el criterio AIC
tamaño muestral 1596
hipótesis nula de raíz unitaria: a = 1

contraste sin constante
incluyendo 7 retardos de (1-L)d_MTSNDQ
modelo: (1-L)y = (a-1)*y(-1) + ... + e
valor estimado de (a - 1): -1.10824
Estadístico de contraste: tau_nc(1) = -14.4746
valor p asintótico 5.472e-031
Coef. de autocorrelación de primer orden de e: -0.000
diferencias retardadas: F(7, 1588) = 2.437 [0.0174]
```

Figura 4.5: Contraste Dickey Fuller para EURDOL

```
gretl: ADF test
Contraste aumentado de Dickey-Fuller para EURDOL
contrastar desde 24 retardos, con el criterio AIC
tamaño muestral 1604
hipótesis nula de raíz unitaria: a = 1

con constante y tendencia
incluyendo 0 retardos de (1-L)EURDOL
modelo: (1-L)y = b0 + b1*t + (a-1)*y(-1) + e
valor estimado de (a - 1): -0.0025236
Estadístico de contraste: tau_ct(1) = -1.19385
valor p 0.9106
Coef. de autocorrelación de primer orden de e: -0.027
```

Figura 4.6: Contraste Dickey Fuller para diferencias de EURDOL

```
gretl: ADF test
Contraste aumentado de Dickey-Fuller para d_EURDOL
contrastar desde 24 retardos, con el criterio AIC
tamaño muestral 1603
hipótesis nula de raíz unitaria: a = 1

contraste sin constante
incluyendo 0 retardos de (1-L)d_EURDOL
modelo: (1-L)y = (a-1)*y(-1) + e
valor estimado de (a - 1): -1.02843
Estadístico de contraste: tau_nc(1) = -41.2007
valor p 1.171e-006
Coef. de autocorrelación de primer orden de e: 0.001
```

Figura 4.7: Contraste Dickey Fuller para HIERRO

```
gretl: ADF test
Contraste aumentado de Dickey-Fuller para Hierro
contrastar desde 24 retardos, con el criterio AIC
tamaño muestral 1603
hipótesis nula de raíz unitaria: a = 1

con constante y tendencia
incluyendo un retardo de (1-L)Hierro
modelo: (1-L)y = b0 + b1*t + (a-1)*y(-1) + ... + e
valor estimado de (a - 1): -0.00202144
Estadístico de contraste: tau_ct(1) = -1.15049
valor p asintótico 0.919
Coef. de autocorrelación de primer orden de e: 0.001
```

Figura 4.8: Contraste Dickey Fuller para diferencias de HIERRO

```
gretl: ADF test
Contraste aumentado de Dickey-Fuller para d_Hierro
contrastar desde 24 retardos, con el criterio AIC
tamaño muestral 1603
hipótesis nula de raíz unitaria: a = 1

contraste sin constante
incluyendo 0 retardos de (1-L)d_Hierro
modelo: (1-L)y = (a-1)*y(-1) + e
valor estimado de (a - 1): -0.902315
Estadístico de contraste: tau_nc(1) = -36.2854
valor p 7.267e-019
Coef. de autocorrelación de primer orden de e: 0.001
```


Figura 4.9: Contraste Dickey Fuller para IBEX35

```
gretl: ADF test
Contraste aumentado de Dickey-Fuller para Ibox35
contrastar desde 24 retardos, con el criterio AIC
tamaño muestral 1592
hipótesis nula de raíz unitaria: a = 1

con constante y tendencia
incluyendo 12 retardos de (1-L)Ibox35
modelo: (1-L)y = b0 + b1*t + (a-1)*y(-1) + ... + e
valor estimado de (a - 1): -0.00519736
Estadístico de contraste: tau_ct(1) = -1.82298
valor p asintótico 0.6938
Coef. de autocorrelación de primer orden de e: -0.000
diferencias retardadas: F(12, 1577) = 2.500 [0.0030]
```

Figura 4.10: Contraste Dickey Fuller para diferencias de IBEX35

```
gretl: ADF test
Contraste aumentado de Dickey-Fuller para d_Ibox35
contrastar desde 24 retardos, con el criterio AIC
tamaño muestral 1592
hipótesis nula de raíz unitaria: a = 1

contraste sin constante
incluyendo 11 retardos de (1-L)d_Ibox35
modelo: (1-L)y = (a-1)*y(-1) + ... + e
valor estimado de (a - 1): -1.18852
Estadístico de contraste: tau_nc(1) = -12.9521
valor p asintótico 2.69e-027
Coef. de autocorrelación de primer orden de e: -0.000
diferencias retardadas: F(11, 1580) = 2.771 [0.0014]
```

Figura 4.11: Contraste de Dickey Fuller para Log MTSIBX

```
gretl: ADF test
Contraste aumentado de Dickey-Fuller para l_MTSIBX
contrastar desde 24 retardos, con el criterio AIC
tamaño muestral 1604
hipótesis nula de raíz unitaria: a = 1

con constante y tendencia
incluyendo 0 retardos de (1-L)l_MTSIBX
modelo: (1-L)y = b0 + b1*t + (a-1)*y(-1) + e
valor estimado de (a - 1): -0.00337744
Estadístico de contraste: tau_ct(1) = -1.48417
valor p 0.8349
Coef. de autocorrelación de primer orden de e: 0.023
```

Figura 4.12: Contraste de Dickey Fuller para diferencias de Log MTSIBX

```
gretl: ADF test
Contraste aumentado de Dickey-Fuller para d_1_MTSIBX
contrastar desde 24 retardos, con el criterio AIC
tamaño muestral 1603
hipótesis nula de raíz unitaria: a = 1

contraste sin constante
incluyendo 0 retardos de (1-L)d_1_MTSIBX
modelo: (1-L)y = (a-1)*y(-1) + e
valor estimado de (a - 1): -0.978727
Estadístico de contraste: tau_nc(1) = -39.2402
valor p 4.059e-011
Coef. de autocorrelación de primer orden de e: 0.001
```

Figura 4.13: Contraste de Dickey Fuller para Log MTSNDQ

```
gretl: ADF test
Contraste aumentado de Dickey-Fuller para l_MTSNDQ
contrastar desde 24 retardos, con el criterio AIC
tamaño muestral 1600
hipótesis nula de raíz unitaria: a = 1

con constante y tendencia
incluyendo 4 retardos de (1-L)l_MTSNDQ
modelo: (1-L)y = b0 + b1*t + (a-1)*y(-1) + ... + e
valor estimado de (a - 1): -0.00250788
Estadístico de contraste: tau_ct(1) = -1.13335
valor p asintótico 0.9221
Coef. de autocorrelación de primer orden de e: -0.002
diferencias retardadas: F(4, 1593) = 2.716 [0.0285]
```

Figura 4.14: Contraste de Dickey Fuller para diferencias de Log MTSNDQ

```
gretl: ADF test
Contraste aumentado de Dickey-Fuller para d_1_MTSNDQ
contrastar desde 24 retardos, con el criterio AIC
tamaño muestral 1600
hipótesis nula de raíz unitaria: a = 1

contraste sin constante
incluyendo 3 retardos de (1-L)d_1_MTSNDQ
modelo: (1-L)y = (a-1)*y(-1) + ... + e
valor estimado de (a - 1): -1.03803
Estadístico de contraste: tau_nc(1) = -20.8792
valor p asintótico 5.23e-041
Coef. de autocorrelación de primer orden de e: -0.002
diferencias retardadas: F(3, 1596) = 3.436 [0.0163]
```

Figura 4.15: Contraste de Dickey Fuller para Log EURDOL

```
gretl: ADF test
Contraste aumentado de Dickey-Fuller para l_EURDOL
contrastar desde 24 retardos, con el criterio AIC
tamaño muestral 1604
hipótesis nula de raíz unitaria: a = 1

con constante y tendencia
incluyendo 0 retardos de (1-L)l_EURDOL
modelo: (1-L)y = b0 + b1*t + (a-1)*y(-1) + e
valor estimado de (a - 1): -0.0025899
Estadístico de contraste: tau_ct(1) = -1.19926
valor p 0.9095
Coef. de autocorrelación de primer orden de e: -0.023
```

Figura 4.16: Contraste de Dickey Fuller para diferencias de Log EURDOL

```
gretl: ADF test
Contraste aumentado de Dickey-Fuller para d_l_EURDOL
contrastar desde 24 retardos, con el criterio AIC
tamaño muestral 1603
hipótesis nula de raíz unitaria: a = 1

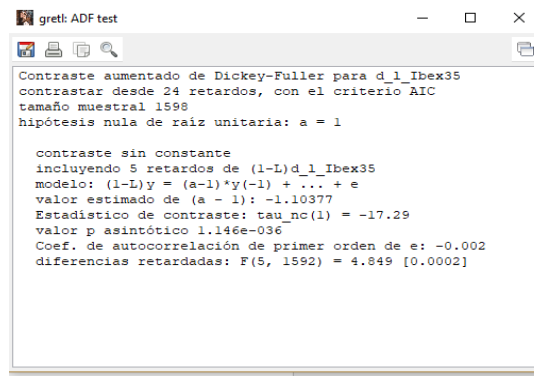
contraste sin constante
incluyendo 0 retardos de (1-L)d_l_EURDOL
modelo: (1-L)y = (a-1)*y(-1) + e
valor estimado de (a - 1): -1.02463
Estadístico de contraste: tau_nc(1) = -41.0407
valor p 5.468e-007
Coef. de autocorrelación de primer orden de e: 0.001
```

Figura 4.17: Contraste de Dickey Fuller para Log IBEX35

```
gretl: ADF test
Contraste aumentado de Dickey-Fuller para l_Ibex35
contrastar desde 24 retardos, con el criterio AIC
tamaño muestral 1598
hipótesis nula de raíz unitaria: a = 1

con constante y tendencia
incluyendo 6 retardos de (1-L)l_Ibex35
modelo: (1-L)y = b0 + b1*t + (a-1)*y(-1) + ... + e
valor estimado de (a - 1): -0.00587555
Estadístico de contraste: tau_ct(1) = -2.02561
valor p asintótico 0.5867
Coef. de autocorrelación de primer orden de e: -0.002
diferencias retardadas: F(6, 1589) = 4.076 [0.0005]
```

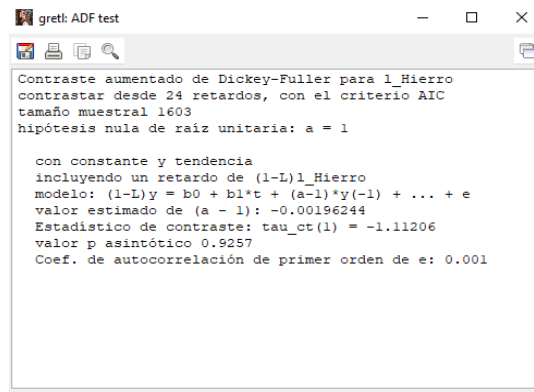
Figura 4.18: Contraste de Dickey Fuller para diferencias de Log IBEX35



```
gretl: ADF test
Contraste aumentado de Dickey-Fuller para d_l_Ibex35
contrastar desde 24 retardos, con el criterio AIC
tamaño muestral 1598
hipótesis nula de raíz unitaria: a = 1

contraste sin constante
incluyendo 5 retardos de (1-L)d_l_Ibex35
modelo: (1-L)y = (a-1)*y(-1) + ... + e
valor estimado de (a - 1): -1.10377
Estadístico de contraste: tau_nc(1) = -17.29
valor p asintótico 1.146e-036
Coef. de autocorrelación de primer orden de e: -0.002
diferencias retardadas: F(5, 1592) = 4.849 [0.0002]
```

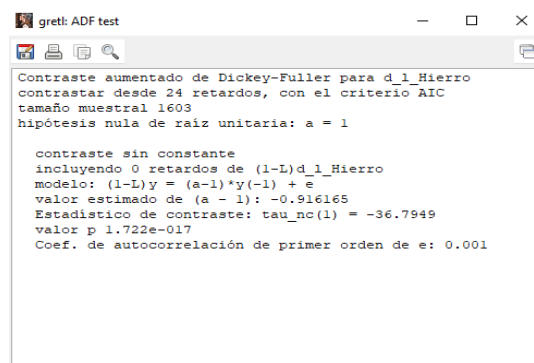
Figura 4.19: Contraste de Dickey Fuller para Log HIERRO



```
gretl: ADF test
Contraste aumentado de Dickey-Fuller para l_Hierro
contrastar desde 24 retardos, con el criterio AIC
tamaño muestral 1603
hipótesis nula de raíz unitaria: a = 1

con constante y tendencia
incluyendo un retardo de (1-L)l_Hierro
modelo: (1-L)y = b0 + b1*t + (a-1)*y(-1) + ... + e
valor estimado de (a - 1): -0.00196244
Estadístico de contraste: tau_ct(1) = -1.11206
valor p asintótico 0.9257
Coef. de autocorrelación de primer orden de e: 0.001
```

Figura 4.20: Contraste de Dickey Fuller para diferencias de Log HIERRO



```
gretl: ADF test
Contraste aumentado de Dickey-Fuller para d_l_Hierro
contrastar desde 24 retardos, con el criterio AIC
tamaño muestral 1603
hipótesis nula de raíz unitaria: a = 1

contraste sin constante
incluyendo 0 retardos de (1-L)d_l_Hierro
modelo: (1-L)y = (a-1)*y(-1) + e
valor estimado de (a - 1): -0.916165
Estadístico de contraste: tau_nc(1) = -36.7949
valor p 1.722e-017
Coef. de autocorrelación de primer orden de e: 0.001
```

Figura 4.21 a Regresión de cointegración para variables normales

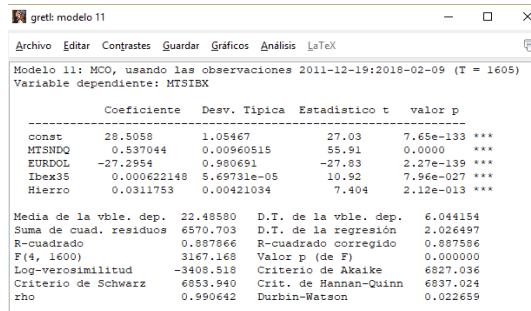


Figura 4.21 b : Contraste de Cointegración para variables normales

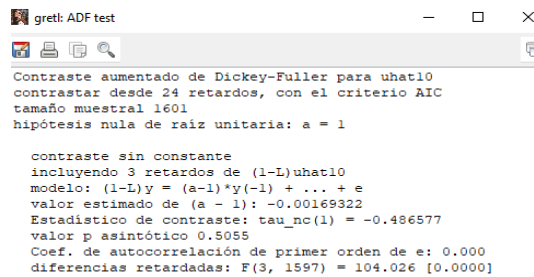


Figura 4.22: Breusch Pagan del Modelo 1

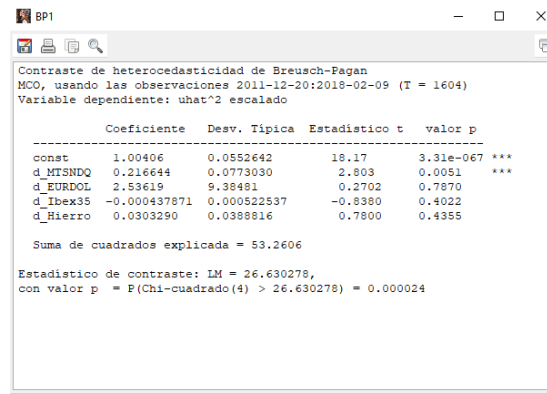


Figura 4.23: Autocorrelación del Modelo 1

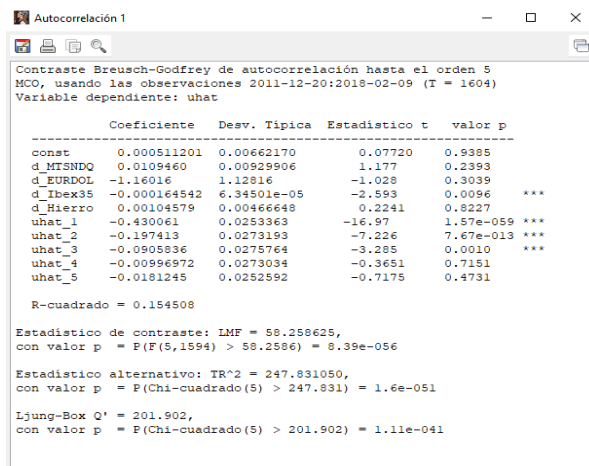


Figura 4.24: Normalidad del Modelo 1

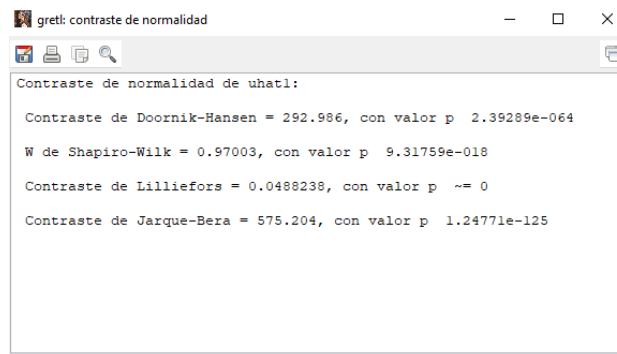


Figura 4.25: Test de Reset Ramsey del Modelo 1

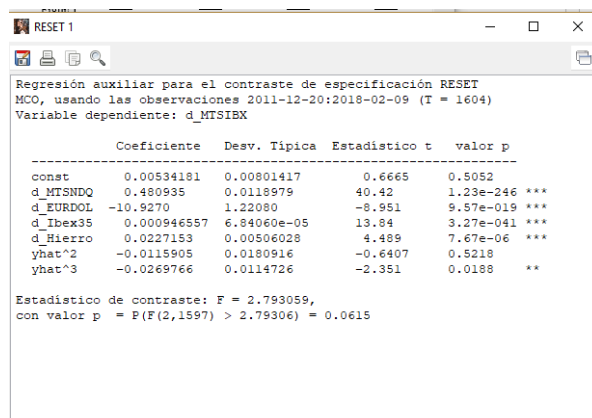


Figura 4.26: Breusch Pagan del Modelo 2

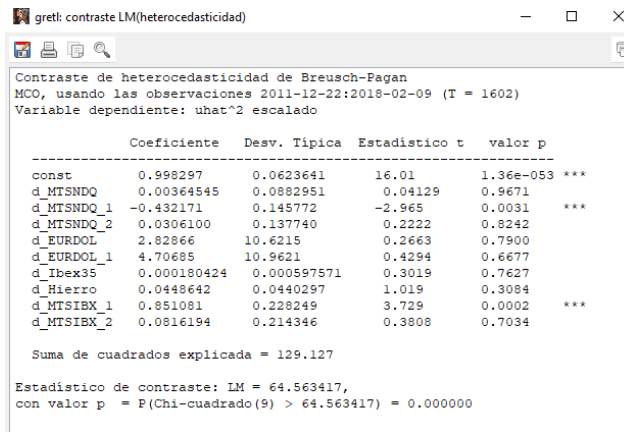


Figura 4.27: Autocorrelación del Modelo 2

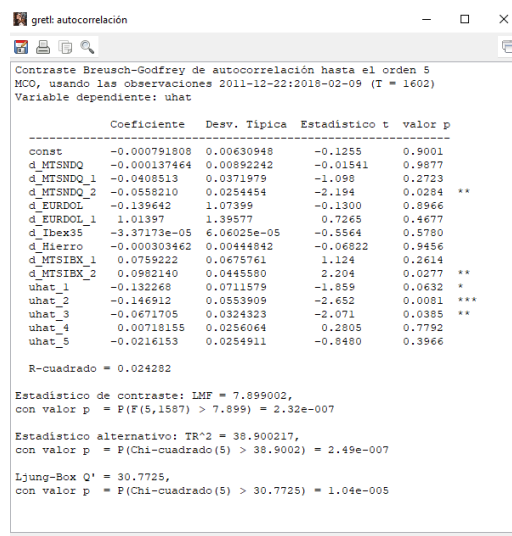


Figura 4.28: Normalidad del Modelo 2

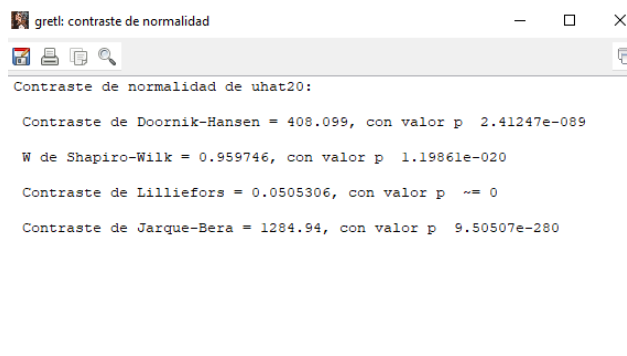


Figura 4.29: Test de Reset Ramsey del Modelo 2

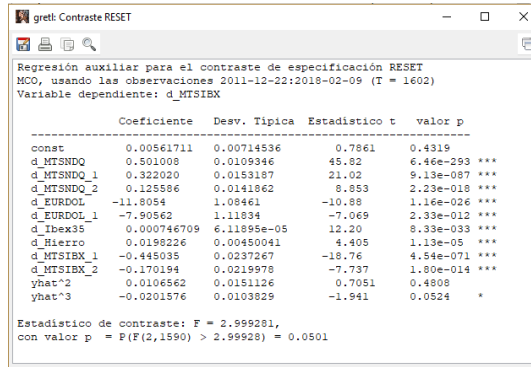


Figura 4.30: Breusch Pagan del Modelo 3

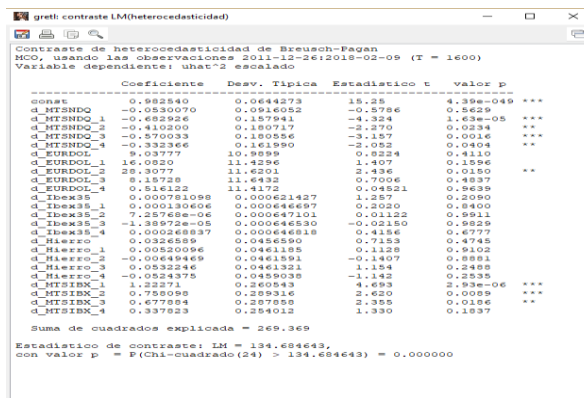


Figura 4.31: Autocorrelación del Modelo 3

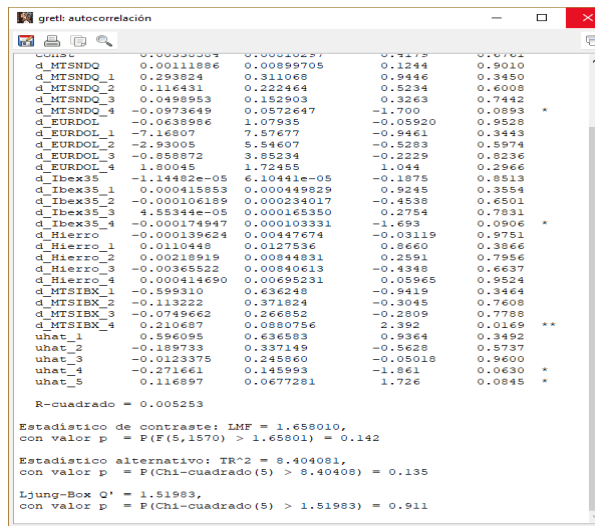


Figura 4.32: Normalidad del Modelo 3

```

greth: contraste de normalidad
-----
Contraste de normalidad de uhat102:

Contraste de Doornik-Hansen = 428.388, con valor p 9.47685e-094

W de Shapiro-Wilk = 0.957578, con valor p 3.55872e-021

Contraste de Lilliefors = 0.0493015, con valor p ~ = 0

Contraste de Jarque-Bera = 1541.72, con valor p 0
    
```

Figura 4.33: Test de Reset Ramsey del Modelo 3

```

greth: Contraste RESET
-----
Regresión auxiliar para el contraste de especificación RESET
MCO, usando las observaciones 2011-12-26:2018-02-09 (T = 1600)
Variable dependiente: d_MTSIBX

-----
Coeficiente  Desv. Típica  Estadístico t  valor p
-----
const          0.00702545   0.00708510   0.9916   0.3216
d_MTSNDQ_1     0.501891     0.0106662    47.05   2.02e-302 ***
d_MTSNDQ_2     0.349629     0.0159703    21.88   7.11e-053 ***
d_MTSNDQ_3     0.190512     0.0179496    10.61   1.83e-025 ***
d_MTSNDQ_4     0.0953816    0.0177316     5.379   8.61e-08 ***
d_MTSNDQ_5     0.0311558    0.0158615     1.964   0.0497 **
d_EURDOL_1    -11.8820     1.07520     -11.02   2.95e-027 ***
d_EURDOL_2    -8.63997     1.12036     -7.712   2.19e-014 ***
d_EURDOL_3    -4.13718     1.14012     -3.629   0.0003 ***
d_EURDOL_4    -3.09320     1.14021     -2.713   0.0067 ***
d_EURDOL_5    -1.75157     1.11906     -1.565   0.1177
d_Ibex35      0.000717542  6.10590e-05  11.75   1.27e-030 ***
d_Ibex35_1    4.77909e-05  6.33165e-05  0.7548  0.4505
d_Ibex35_2    0.000113317  6.34001e-05  1.787   0.0741 *
d_Ibex35_3    5.52478e-05  6.33868e-05  0.8723  0.3832
d_Ibex35_4    1.55362e-05  6.33961e-05  0.2451  0.8064
d_Hierro      0.0186890    0.00449562    4.166   3.26e-05 ***
d_Hierro_1    0.0123661    0.00459262    2.693   0.0072 **
d_Hierro_2    -0.00260767  0.00452342    -0.5765  0.5644
d_Hierro_3    0.00994658   0.00452571    2.198   0.0281 **
d_Hierro_4    -0.00164710  0.00449421    -0.3665  0.7140
d_MTSIBX_1    -0.503408    0.0260970     -19.29   1.37e-074 ***
d_MTSIBX_2    -0.285429    0.0286478     -9.963   1.02e-022 ***
d_MTSIBX_3    -0.150456    0.0282746     -5.321   1.18e-07 ***
d_MTSIBX_4    -0.0249618   0.0248744     -1.004   0.3158
yhat^2        0.0140056    0.0148996     0.9406  0.3470
yhat^3        -0.0205578   0.00939433    -2.188   0.0288 **

Estadístico de contraste: F = 4.309571,
con valor p = P(F(2,1573) > 4.30957) = 0.0136
    
```

Figura 4.34: Breusch Pagan del Modelo 4

```

BP19
-----
Contraste de heteroscedasticidad de Breusch-Pagan
MCO, usando las observaciones 2011-12-26:2018-02-09 (T = 1600)
Variable dependiente: uhat^2 escalado

-----
Coeficiente  Desv. Típica  Estadístico t  valor p
-----
const          0.937662     0.143374     6.540   8.29e-011 ***
d_1_MTSNDQ     -51.2010     6.12556     -8.359   1.37e-016 ***
d_1_MTSNDQ_1  -113.320     10.4447     -10.85   1.69e-026 ***
d_1_MTSNDQ_2  -46.3480     11.7256     -3.953   8.07e-05 ***
d_1_MTSNDQ_3  -34.6986     11.6534     -2.978   0.0029 ***
d_1_MTSNDQ_4  -26.5734     10.1599     -2.616   0.0090 ***
d_1_EURDOL_1   60.4251     28.3790     2.129   0.0334 **
d_1_EURDOL_2  102.600     25.3331     3.998   0.0005 ***
d_1_EURDOL_3  101.228     29.8895     3.421   0.0006 ***
d_1_EURDOL_4  36.6912     29.5078     1.243   0.2139
d_1_Ibex35     61.2831     12.2173     5.016   5.87e-07 ***
d_1_Ibex35_1   4.34191     12.9012     0.3366  0.7365
d_1_Ibex35_2  -1.64181     12.9304     -0.1270  0.8990
d_1_Ibex35_3   1.06957     12.9037     0.08281  0.9340
d_1_Hierro     6.75471     8.34409     0.8095  0.4183
d_1_Hierro_1  -5.89809     8.35991     -0.7056  0.4805
d_1_MTSIBX_1  124.889     11.5398     10.82   2.21e-026 ***
d_1_MTSIBX_2   51.7550     12.5320     4.130   3.82e-05 ***
d_1_MTSIBX_3   30.6688     12.2901     2.495   0.0127 **
d_1_MTSIBX_4   2.58901     10.1007     0.2563  0.7977

Suma de cuadrados explicada = 7275.08

Estadístico de contraste: LM = 3637.538707,
con valor p = P(Chi-cuadrado(19) > 3637.538707) = 0.000000
    
```

Figura 4.35: Autocorrelación del Modelo 4

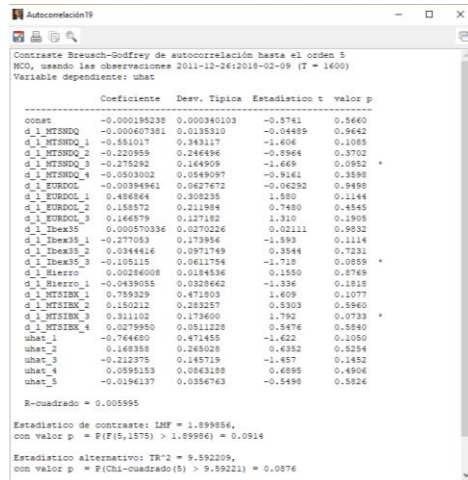


Figura 4.36: Normalidad del Modelo 4

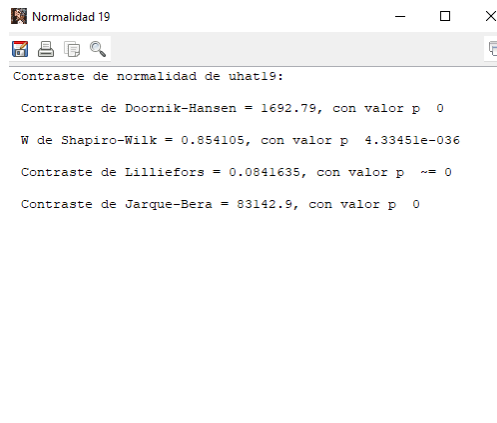


Figura 4.37: Test de Reset Ramsey del Modelo 4

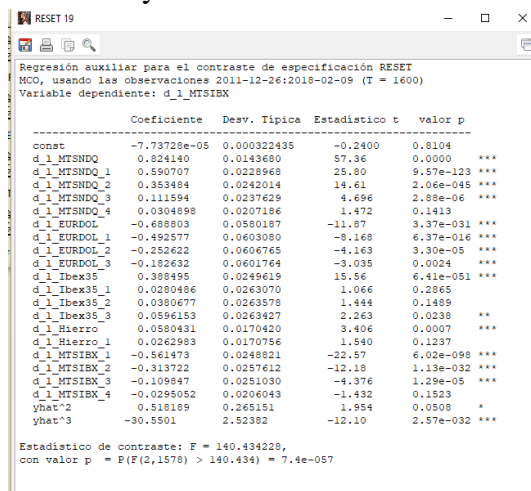


Figura 4.38: Breusch Pagan del Modelo 5

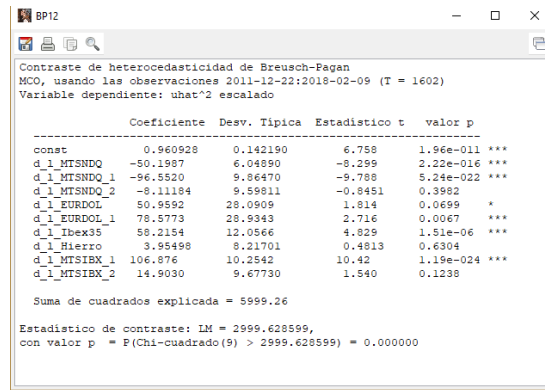


Figura 4.39: Autocorrelación del Modelo 5

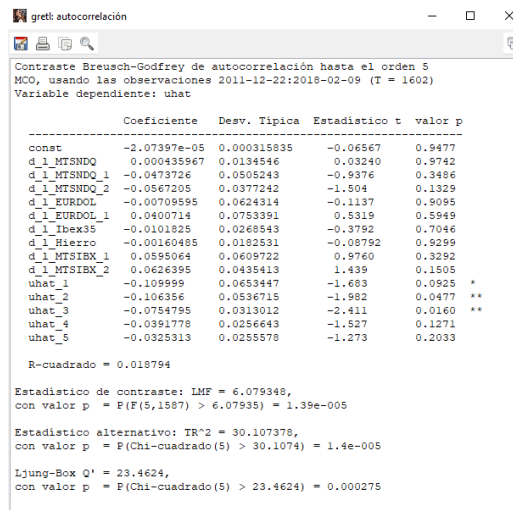


Figura 4.40: Normalidad del Modelo 5

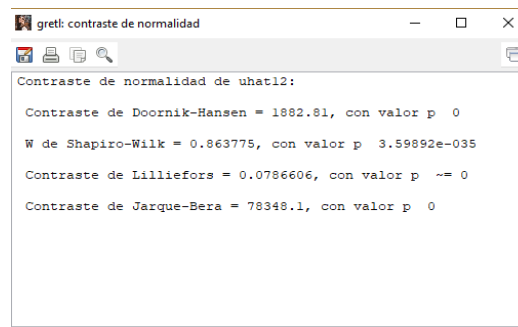


Figura 4.41: Test de Ramsey del Modelo 5

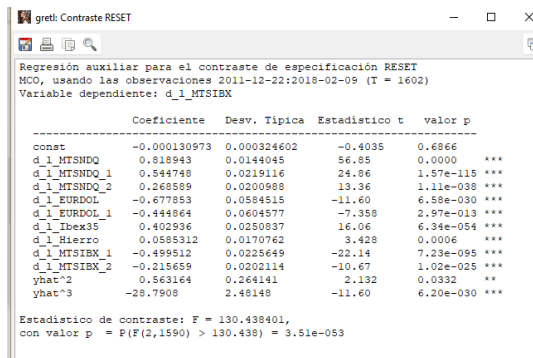


Figura 4.42 a : Regresión de la cointegración para las variables en logaritmos

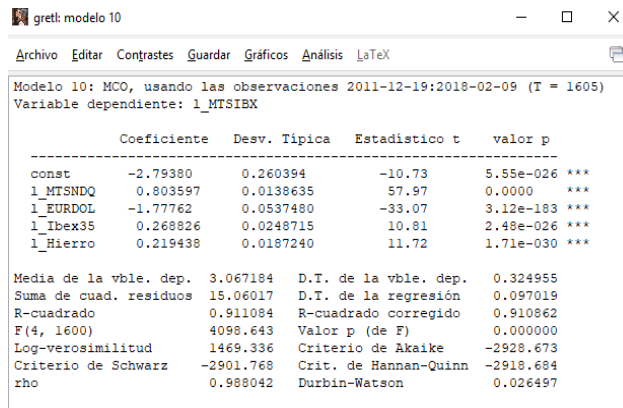


Figura 4.42 b : Contraste de Cointegración para las variables en logaritmos

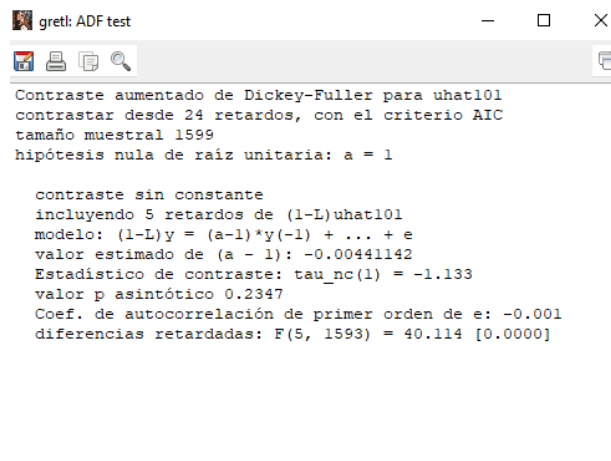


Figura 6.1: Beneficios obtenidos

EXTRACTO DE VALORES: ACCIONES

iberCaja 

CTA. ASOCIADA: [REDACTED]
 CTA. VALORES: [REDACTED] PAG. 1

| FECHA | OPERACION | TITULOS | PRECIO/COTIS. | IMP. BRUTO EUR. | V. MERCADO EUR. |
|---|---------------|--------------|---------------|----------------------------------|-----------------|
| ** LUI598757687 ACCIONES ARCELOR MITTAL | | | | | |
| 30-09-17 | SALDO INICIAL | 78 | 21,8050 EUR | | 1.700,79 |
| 01-10-17 | GASTOS ADMON | | | 4,57 | |
| 31-12-17 | SALDO FINAL | 78 | 27,0950 EUR | | 2.113,41 |
| | | | | | |
| | VALOR INICIAL | SUSCR+COMPAS | DEVOL+VENTAS | DIVIDENDOS | VALOR FINAL |
| | 1.700,79 | 0,00 | 0,00 | 0,00 | 2.113,41 |
| | | | | | |
| ALEXANDER ASPAS MOLLA CL MARIA MOLINER 1 4 2 22004 HUESCA | | | 20123 | Titular ALEXANDER ASPAS MOLLA | |

MPT

